



AB 1571

SOLDI

SOLDI Sp. z o.o.
ul. Bieżanowska 22
30-812 Kraków

Sprawozdanie nr 312/2026/OS/05

Sprawozdanie z badania natężenia pól elektromagnetycznych
wykonanych w środowisku

Miejsce wykonania badania:

(dane uzyskane od klienta)

OPO7115_B

45-675 Opole, **Leonida Teligi 81**,
pow. Opole, woj. opolskie

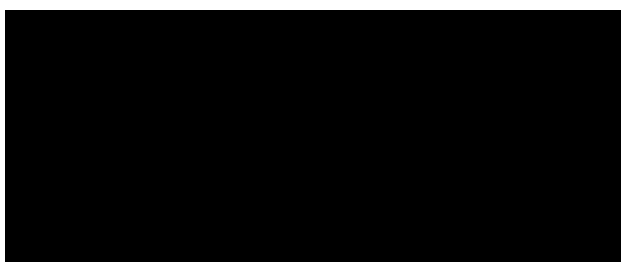
Data zakończenia badania:

02.06.2026 r.

Klient:

P4 Sp. z o.o.
ul. Wynałazek 1
02-677 Warszawa

Autoryzacja / wydanie sprawozdania:



Bez pisemnej zgody laboratorium, sprawozdanie nie może być powielane inaczej, jak tylko w całości.

1. Podstawa prawna

Badania wykonano zgodnie z obecnie występującymi aktami prawnymi:

- Ustawa z dnia 27 kwietnia 2001 r. Prawo ochrony środowiska (Dz. U. 2025 poz. 647 z zm.)
- Rozporządzenie Ministra Zdrowia z dnia 17 grudnia 2019 r. w sprawie dopuszczalnych poziomów pól elektromagnetycznych w środowisku (Dz. U. 2019 poz. 2448),
- Rozporządzenie Ministra Klimatu z dnia 17 lutego 2020 r. w sprawie sposobów sprawdzania dotrzymania dopuszczalnych poziomów pól elektromagnetycznych w środowisku (Dz. U. 2022 poz. 2630).

2. Aparatura pomiarowa

Podczas badań użyto następującej aparatury pomiarowej:

Tabela nr 1

Miernik szerokopasmowy	Sondy	Zakres częstotliwościowy	Zakres pomiarowy*	Świadectwo wzorcowania
Narda NBM-520 Nr D-1583	EF-0392 nr E-0004	0,1 – 3 600 MHz	0,5 – 800 V/m	LWiMP/W/294/25; data wydania: 23.07.2025
Narda NBM-520 Nr D-1583	EF-6091 nr 01164	80 – 90 000 MHz	0,5 – 300 V/m	LWiMP/W/394/24; data wydania: 18.11.2024

*Do wyznaczenia poprawnej wartości natężenia pola elektromagnetycznego uwzględniono współczynniki korekcyjne z właściwego świadectwa wzorcowania.

Aparaturę pomiarową charakteryzują następujące wartości niepewności pomiaru obliczone i przedstawiona zgodnie z dokumentem PN-EN 50413. Podane wartości niepewności stanowią niepewności rozszerzone dla poziomu ufności 95% i współczynnika rozszerzenia $k=2$.

Procedury wdrożone w laboratorium pozwalają zapewnić odporność elektromagnetyczną miernika.

Niepewność pomiarowa wyznaczona dla zainstalowanych i skonfigurowanych obiektów – źródeł pól, jak w dniu pomiaru wynosi 43%.

Dodatkowa aparatura pomiarowa:

- Kompas (busola) [UP/10/Sw]
- Cyfrowy miernik wilgotności względnej i temperatury powietrza AZ8703 nr fab. S/N:10047614 [UP/11/Sw] (Świadectwo wzorcowania: 0367/AH/15; data wydania: 17.03.2015)
- Taśma miernicza geodezyjna 50 m [UP/12/Sw] (Świadectwo wzorcowania: 1429.01-M11-4180-515/15; data wydania: 27.04.2015)
- Odbiornik GPS SAMSUNG Galaxy S24 Ultra [UP/21/Sw]

3. Opis badania:

Na podstawie zlecenia firmy P4 Sp. z o.o. badania przeprowadziło:
Laboratorium Badawcze Soldi sp. z o.o., ul. Leśna 1a/2, 47-400 Racibórz.

Badanie wykonano zgodnie z:

Załącznikiem do rozporządzenia Ministra Klimatu z dnia 17 lutego 2020 r. w sprawie sposobów sprawdzania dotrzymania dopuszczalnych poziomów pól elektromagnetycznych w środowisku (Dz. U. 2022 poz. 2630).

Badania promieniowania elektromagnetycznego, którego źródłem są urządzenia wyszczególnione w punkcie 4 sprawozdania przeprowadzono w pionach pomiarowych na kierunkach zbliżonych do azymutów badanej instalacji, w szczególności w tych miejscach, w których na podstawie uprzednio przeprowadzonych obliczeń, stwierdzono występowanie w danych zakresach częstotliwości pól-EM o poziomach zbliżonych do poziomów dopuszczalnych oraz do odległości, dla której stwierdzono w miejscach dostępnych dla ludności występowanie pól elektromagnetycznych o najwyższym poziomie, które pochodzą z badanej instalacji. Badania pól elektromagnetycznych przeprowadzono w pionach pomiarowych wzdłuż głównych kierunków pomiarowych, dodatkowych pionach oraz w miejscach dostępnych dla ludności w otoczeniu instalacji. W przyjętych pionach pomiarowych pomiary wykonano na wysokościach od 0,3 m do 2,0 m nad powierzchnią terenu albo nad innymi miejscami dostępnymi dla ludności. W pobliżu urządzeń, obiektów i elementów metalowych pomiary wykonano w odległości nie mniejszej niż 0,3 m od tych urządzeń, obiektów i elementów metalowych.

Przy sprawdzeniu dotrzymania dopuszczalnych poziomów pól elektromagnetycznych w środowisku nie uwzględnia się poprawek pomiarowych ze względu, na fakt iż pomiary wykonywane są przy użyciu miernika szerokopasmowego.

4. Informacje przekazane przez klienta

Tabela nr 2 – Opis obiektu, w otoczeniu którego wykonano badania oraz określenie terenu wokół stacji

Tabela nr 2a – Szczegółowe dane źródła pól dla anten mikrofalowych

Tabela nr 2b – Szczegółowe dane źródła pól dla anten sektorowych

Tabela nr 2

Opis obiektu, w otoczeniu którego wykonano pomiary	
Rodzaj konstrukcji wsporczej:	Wieża kościoła
Wysokość wieży kościoła:	23,9 m n.p.t.
Rodzaj terenu wokół stacji bazowej:	Stacja bazowa zlokalizowana jest na terenie miejskim, w najbliższym otoczeniu stacji znajduje się zabudowa mieszkaniowa i usługowa.

Tabela nr 2a

Charakterystyka promieniowania				kierunkowa					
Rzeczywisty czas pracy [h/dobę]				24					
Rodzaj wytwarzanego pola				stacjonarne					
Linia radiowa				Antena					
Lp.	Typ nadajnika	Częstotliwość pracy [GHz]	Moc wyjściowa [dBm]	Typ / producent	Średnica anteny [m]	Azymut [°]	Wysokość zainstal. [m]	LON	LAT
1	OPTIX RTN/HUAWEI	80	18	0.6-80 (A80S06)	0,6	235	21,7	17°59'52.10"E	50°37'20.26"N

Tabela nr 2b

Charakterystyka promieniowania				kierunkowa					
Rzeczywisty czas pracy [h/dobę]				Całodobowa 24h					
Warunki pracy				Znamionowe					
Rodzaj wytwarzanego pola				stacjonarne					
Lp.	Typ nadajnika	Antena Producent / Typ	Azymut [°]	Wysokość środka elektr. anteny [m n.p.t.]	Pasmo [Mhz]	Kąt nachylenia [°]	EIRP dla anteny [W]	LON	LAT
1	RBS6xxx/2xxx/4xxx	Huawei ASI4517R3	75	21	700	0 - 10	26190	17°59'52.11"E	50°37'20.26"N
	RBS6xxx/2xxx/4xxx				800	0 - 10		17°59'52.11"E	50°37'20.26"N
	RBS6xxx/2xxx/4xxx				900	0 - 10		17°59'52.11"E	50°37'20.26"N
	RBS6xxx/2xxx/4xxx				1800	2 - 10		17°59'52.11"E	50°37'20.26"N
	RBS6xxx/2xxx/4xxx				2100	2 - 10		17°59'52.11"E	50°37'20.26"N
	RBS6xxx/2xxx/4xxx				2600	2 - 10		17°59'52.11"E	50°37'20.26"N
2	RBS6xxx/2xxx/4xxx	Huawei ASI4517R3	190	19,3	700	0 - 10	24758	17°59'52.11"E	50°37'20.26"N
	RBS6xxx/2xxx/4xxx				800	0 - 10		17°59'52.11"E	50°37'20.26"N
	RBS6xxx/2xxx/4xxx				900	0 - 10		17°59'52.11"E	50°37'20.26"N
	RBS6xxx/2xxx/4xxx				1800	2 - 10		17°59'52.11"E	50°37'20.26"N
	RBS6xxx/2xxx/4xxx				2100	2 - 10		17°59'52.11"E	50°37'20.26"N
	RBS6xxx/2xxx/4xxx				2600	2 - 10		17°59'52.11"E	50°37'20.26"N
3	RBS6xxx/2xxx/4xxx	Huawei ASI4517R3	300	19,3	700	0 - 10	24758	17°59'52.11"E	50°37'20.26"N
	RBS6xxx/2xxx/4xxx				800	0 - 10		17°59'52.11"E	50°37'20.26"N
	RBS6xxx/2xxx/4xxx				900	0 - 10		17°59'52.11"E	50°37'20.26"N
	RBS6xxx/2xxx/4xxx				1800	2 - 10		17°59'52.11"E	50°37'20.26"N
	RBS6xxx/2xxx/4xxx				2100	2 - 10		17°59'52.11"E	50°37'20.26"N
	RBS6xxx/2xxx/4xxx				2600	2 - 10		17°59'52.11"E	50°37'20.26"N

W załączonej tabeli podano maksymalne parametry pracy tej instalacji deklarowane przez prowadzącego instalację. Podczas pomiarów urządzenia użytkownika pracowały przy aktualnie występującym obciążeniu. Anteny o sterowanych wiązках zostały ustawione w sposób umożliwiający spełnienie wymagań pkt 13 ppkt 2 RMK.

Jako dopuszczalne poziomy gęstości pola elektromagnetycznego przyjmuje się wartość 2 W/m^2 , co odpowiada natężeniu składowej elektrycznej pola elektromagnetycznego o wartości 28 V/m – tj. minimalnej wartości dopuszczalnej dla zakresu częstotliwości od 10 MHz do 300 GHz, dzięki czemu zostaje uwzględniona obecność innych instalacji emitujących pole – EM w sąsiedztwie.

5. Wyniki badań i szkic sytuacyjny

Tabela nr 3

Data wykonania pomiarów	Godzina		Opady	Temperatura [°C]		Wilgotność [%]	
	Rozpoczęcia pomiarów	Zakończenia pomiarów		Minimalna	Maksymalna	Minimalna	Maksymalna
01.06.2026	09:00	10:15	Brak	14,6	15,5	60	62

Temperatura i wilgotność względna nie wyższa niż dopuszczalna specyfikacja miernika.

Tabela nr 4

Nr pionu / punktu	Lokalizacja pionu / punktu pomiarowego			Wysokość pomiaru [m]	Wartość zmierzona [V/m]	Wynik badania pola-E ^{*)} [V/m]	Wskaźnik poziomu emisji WM _E	Wartość wyznaczona pola-H [A/m]	Wskaźnik poziomu emisji WM _H
	LAT	LON	Opis						
1	2	3	4	5	6	7	8	9	10
1	50.62233	17.99808	GKP; poziom terenu wokół stacji bazowej	2,0	1,5	2,1	0,08	0,006	0,08
2	50.62236	17.99820	GKP; poziom terenu wokół stacji bazowej	2,0	1,4	2,0	0,07	0,005	0,07
3	50.62247	17.99886	GKP; poziom terenu wokół stacji bazowej	2,0	1,3	1,9	0,07	0,005	0,07
4	50.62258	17.99950	GKP; poziom terenu wokół stacji bazowej	2,0	1,3	1,9	0,07	0,005	0,07
5	50.62270	18.00022	GKP; poziom terenu wokół stacji bazowej	2,0	1,1	1,6	0,06	0,004	0,06
6	50.62219	17.99820	GKP; poziom terenu wokół stacji bazowej	2,0	1,8	2,6	0,09	0,007	0,09
7	50.62208	17.99883	GKP; poziom terenu wokół stacji bazowej	2,0	1,7	2,4	0,09	0,006	0,09
8	50.62194	17.99950	GKP; poziom terenu wokół stacji bazowej	2,0	1,3	1,9	0,07	0,005	0,07
9	50.62208	17.99772	GKP; poziom terenu wokół stacji bazowej	2,0	1,8	2,6	0,09	0,007	0,09
10	50.62200	17.99769	GKP; poziom terenu wokół stacji bazowej	2,0	1,5	2,1	0,08	0,006	0,08
11	50.62165	17.99761	GKP; poziom terenu wokół stacji bazowej	2,0	1,4	2,0	0,07	0,005	0,07
12	50.62117	17.99747	GKP; poziom terenu wokół stacji bazowej	2,0	1,3	1,9	0,07	0,005	0,07
13	50.62091	17.99739	GKP; poziom terenu wokół stacji bazowej	2,0	1,3	1,9	0,07	0,005	0,07
14	50.62211	17.99739	GKP; poziom terenu wokół stacji bazowej	2,0	1,8	2,6	0,09	0,007	0,09
15	50.62194	17.99700	GKP; poziom terenu wokół stacji bazowej	2,0	1,8	2,6	0,09	0,007	0,09
16	50.62175	17.99661	GKP; poziom terenu wokół stacji bazowej	2,0	1,4	2,0	0,07	0,005	0,07
17	50.62236	17.99758	GKP; poziom terenu wokół stacji bazowej	2,0	1,5	2,1	0,08	0,006	0,08
18	50.62241	17.99739	GKP; poziom terenu wokół stacji bazowej	2,0	1,2	1,7	0,06	0,005	0,06
19	50.62259	17.99692	GKP; poziom terenu wokół stacji bazowej	2,0	1,5	2,1	0,08	0,006	0,08
20	50.62283	17.99622	GKP; poziom terenu wokół stacji bazowej	2,0	1,3	1,9	0,07	0,005	0,07
21	50.62297	17.99586	GKP; poziom terenu wokół stacji bazowej	2,0	1,4	2,0	0,07	0,005	0,07
22	50.62238	17.99769	GKP; poziom terenu wokół stacji bazowej	2,0	1,5	2,1	0,08	0,006	0,08

^{*)} Za wynik badania przyjmuje się wartość wyznaczoną jako maksymalny chwilowy wynik pomiarów powiększony o rozszerzoną niepewność pomiaru U dla współczynnika rozszerzenia k=2.

Objaśnienia:

GKP – Główny Kierunek Pomiarowy

Tabela nr 4 cd.

Nr pionu / punktu	Lokalizacja pionu / punktu pomiarowego			Wysokość pomiaru	Wartość zmierzona	Wynik badania pola-E ^{*)}	Wskaźnik poziomu emisji WM _E	Wartość wyznaczona pola-H	Wskaźnik poziomu emisji WM _H
	LAT	LON	Opis						
1	2	3	4	5	6	7	8	9	10
23	50.62252	17.99761	GKP; poziom terenu wokół stacji bazowej	2,0	1,4	2,0	0,07	0,005	0,07
A	-	-	DPP; światło okna budynku przy ul. Konstantego Ciołkowskiego 11 (p.0)	2,0	1,5	2,1	0,08	0,006	0,08
B	-	-	DPP; światło okna budynku przy ul. Konstantego Ciołkowskiego 3 (p.0)	2,0	1,4	2,0	0,07	0,005	0,07
C	-	-	DPP; światło okna budynku przy ul. Leonida Teligi 85 (p.0)	2,0	1,4	2,0	0,07	0,005	0,07
D	-	-	DPP; światło okna budynku przy ul. Leonida Teligi 84 A (p.0)	2,0	1,5	2,1	0,08	0,006	0,08
E	-	-	DPP; światło okna budynku przy ul. Leonida Teligi 81 (p.1)	2,0	1,8	2,6	0,09	0,007	0,09
F	-	-	DPP; światło okna budynku przy ul. Leonida Teligi 75 (p.0)	2,0	1,5	2,1	0,08	0,006	0,08
G	-	-	DPP; światło okna budynku przy ul. Leonida Teligi 73 (p.0)	2,0	1,7	2,4	0,09	0,006	0,09

^{*)} Za wynik badania przyjmuje się wartość wyznaczoną jako maksymalny chwilowy wynik pomiarów powiększony o rozszerzoną niepewność pomiaru U dla współczynnika rozszerzenia k=2.

Objaśnienia:

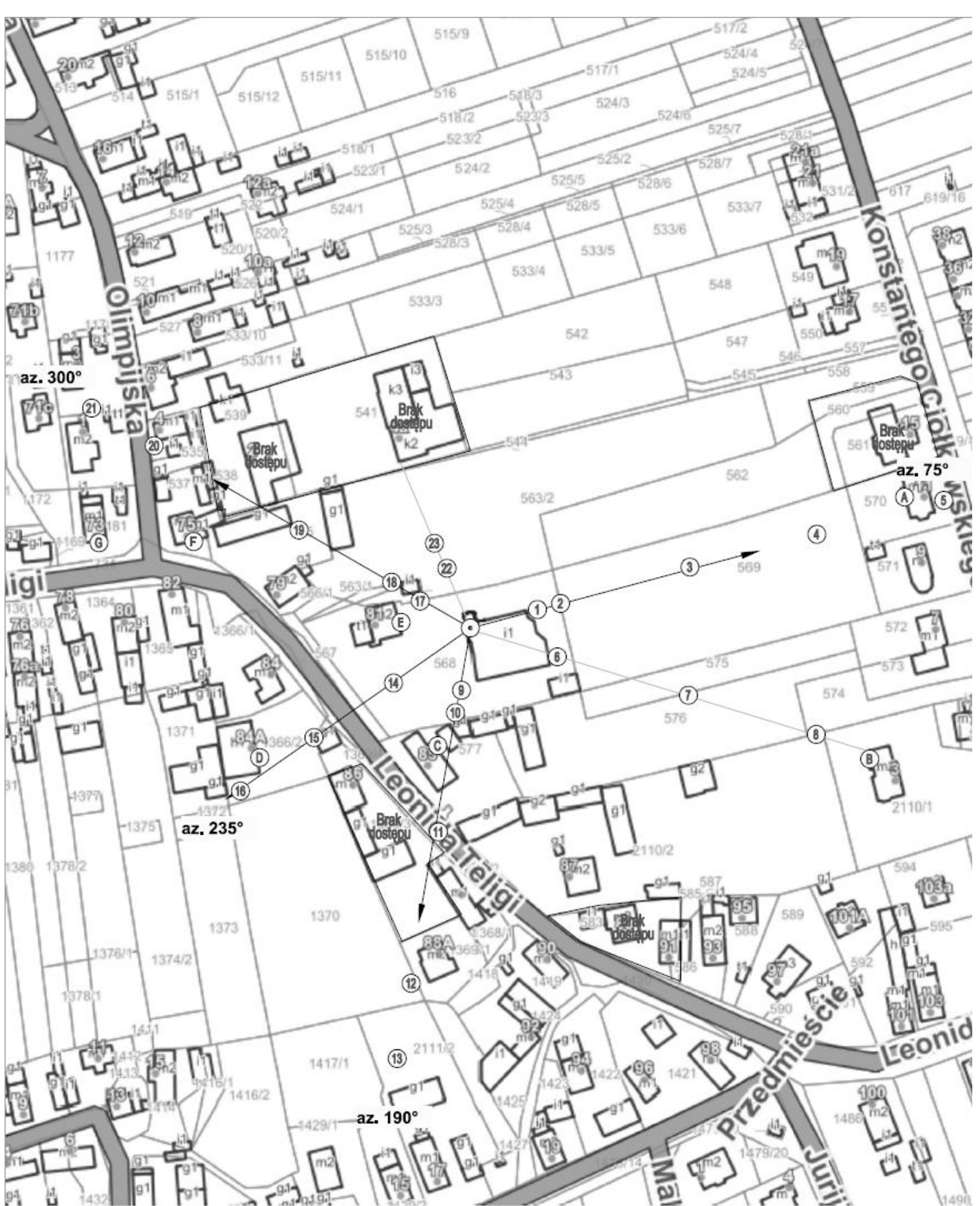
GKP – Główny Kierunek Pomiarowy
DPP – Dodatkowy Pion Pomiarowy

UWAGA: Brak możliwości wykonania pomiarów na terenie posesji przy ul. Konstantego Ciołkowskiego 15 oraz przy ul. Leonida Teligi 86,89,91 –nieobecność dysponenta.

Wyniki pomiarów odnoszą się wyłącznie do przedstawionych w sprawozdaniu punktów / pionów pomiarowych.

Informacje przekazane przez klienta wpływają na ważność wyników badań.

W obszarze pomiarowym nie stwierdzono obecności instalacji urządzeń obcych operatorów.



N



LEGENDA:

- (Nr) – Punkty (piony) pomiarowe
- ⊙ – Lokalizacja źródła pola-EM

Użytkownik: P4 Sp. z o.o. 02-677 Warszawa, ul. Wynalazek 1	Nr stacji: OP07115_B	Skala: 1:1700
Nazwa rysunku: Rozmieszczenie pionów pomiarowych		
Nr sprawozdania: 312/2026/OS/05		
LABORATORIUM BADAWCZE SOLDI ul. Bieżanowska 22, 30-812 Kraków	Opracował: Laboratorium Badawcze Soldi	Nr rysunku: 01

6. Podsumowanie wyników badania

Minimalne dopuszczalne poziomy elektromagnetycznego promieniowania niejonizującego charakteryzowane przez wartości graniczne wielkości fizycznych dla miejsc dostępnych dla ludności, uwzględniające wszystkie źródła promieniowania mogące występować w obszarze pomiarowym, w zakresie pomiarowym zestawu pomiarowego, opisanego w punkcie 2 niniejszego sprawozdania, zgodnie z rozporządzeniem Ministra Zdrowia z dnia 17 grudnia 2019 r. w sprawie dopuszczalnych poziomów pól elektromagnetycznych w środowisku (Dz. U. 2019 poz. 2448), które zostały przyjęte do obliczeń wskaźników WM_E i WM_H wynoszą odpowiednio:

Tabela nr 5

Zakres częstotliwości	Natężenie pola - E	Natężenie pola - H
10 MHz – 300 GHz	28 V/m	0,073 A/m

Przeprowadzone badania zostały wykonane przy użyciu miernika szerokopasmowego i nie wykazały przekroczenia 70% ww. wartości dopuszczalnych. W wyniku przeprowadzonego badania potwierdzono także, że otrzymane wartości wskaźnikowe dla wszystkich punktów / pionów pomiarowych badanej instalacji radiokomunikacyjnej, nie przekroczyły wartości 1. Zatem poziomy pól elektromagnetycznych w badanych punktach są dopuszczalne.

Stwierdzenie zgodności zostało przedstawione na podstawie wyników badań oraz informacji uzyskanych od klienta (za które Laboratorium nie ponosi odpowiedzialności) dla instalacji opisanej w punkcie 4.

Stwierdzenia zgodności dokonano na podstawie zasady podejmowania decyzji i wymagań zawartych w załączniku do rozporządzenia Ministra Klimatu z dnia 17 lutego 2020 r. w sprawie sposobów sprawdzania dotrzymania dopuszczalnych poziomów pól elektromagnetycznych w środowisku (Dz. U. 2022 poz. 2630).

Tabela nr 6

Badanie wykonał:	Sprawozdanie sporządził:	Sprawdził:
████████████████████	████████████████████	02.06.2026 r. ████████████████████

KONIEC SPRAWOZDANIA